# МОСКОВСКИЙ ГОСУДАРСТВЕННЫЙ УНИВЕРСИТЕТ имени М.В.ЛОМОНОСОВА

На правах рукописи

hond-

ПОПОВ АЛЕКСАНДР СЕРГЕЕВИЧ

## НОВЫЕ НЕПОДВИЖНЫЕ ФАЗЫ НА ОСНОВЕ РАЗЛИЧНЫХ МАТРИЦ ДЛЯ ГИДРОФИЛЬНОЙ ХРОМАТОГРАФИИ

Специальность – 02.00.02 — Аналитическая химия

АВТОРЕФЕРАТ диссертации на соискание ученой степени кандидата химических наук

Работа выполнена на кафедре аналитической химии Химического факультета МГУ имени М.В.Ломоносова.

Научный руководитель Чернобровкина Алла Валерьевна

Кандидат химических наук

Официальные оппоненты Курганов Александр Александрович

Доктор химических наук, старший научный сотрудник Федеральное государственное бюджетное учреждение науки Ордена Трудового Красного Знамени Институт нефтехимического синтеза им. А.В. Топчиева РАН, и.о. главного научного сотрудника

Староверов Сергей Михайлович

Доктор химических наук Акционерное общество «БиоХимМак СТ», генеральный директор

Бессонова Елена Андреевна

Кандидат химических наук

Федеральное государственное бюджетное учреждение высшего образования Санкт-Петербургский государственный университет, Институт химии, кафедра органической химии, доцент

Защита диссертации состоится «02» марта 2022 года в 15 часов 00 минут на заседании диссертационного совета МГУ.02.05 Московского государственного университета имени М.В.Ломоносова по адресу: 119991, г. Москва, ГСП-1, Ленинские горы, д.1, стр. 3, МГУ имени М.В.Ломоносова, Химический факультет, аудитория 337.

E-mail: dissovet02.00.02@mail.ru

С диссертацией можно ознакомиться в отделе диссертаций научной библиотеки МГУ имени М.В.Ломоносова (Ломоносовский просп., д.27) и на сайте АИС «ИСТИНА»: https://istina.msu.ru/dissertations/420718227/

Автореферат разослан «27» января 2022 года.

Ученый секретаррь диссертационного совета, кадидат химических наук

И.А. Ананьева

#### ОЩАЯ ХАРАКТЕРИСТИКА РАБОТЫ

Актуальность темы. В настоящее время химическая промышленность ежегодно создает новые уникальные продукты, производство которых нуждается в обеспечении контроля качества высокого уровня. Большинство таких вопросов решаются методом ВЭЖХ, в начале ХХІ века расширившимся благодаря новому режиму – гидрофильному. Гидрофильная хроматография (ГИХ) – современный метод полярных соединений на полярных неподвижных определения использованием водно-органической смеси в качестве подвижной фазы. Такой подход обеспечивает альтернативную селективность по сравнению с обращеннофазовой хроматографией, благодаря чему метод ГИХ применяется во многих областях: контроль качества в пищевой и фармацевтической промышленности, экологический мониторинг, выявление фальсификатов и анализ биологических жидкостей для диагностирования социально значимых болезней. Актуальность метода также обусловлена простотой пробоподготовки, эффективностью и экспрессностью анализа многокомпонентых проб со сложной матрицей. Получение новых неподвижных фаз является ключевым моментом для расширения области применимости метода ГИХ.

Один из наиболее эффективных методов получения новых сорбентов – покрытие гидрофильным полимерным слоем, что позволяет экранировать влияние матрицы, а также придать или изменить электростатический заряд на поверхности сорбента. Выявление закономерностей между конкретными фрагментами структуры сорбента и его хроматографическими свойствами позволит в будущем создавать неподвижные фазы с заданными параметрами и селективностью по отношению к отдельным классам соединений.

На сегодняшний день на рынке коммерчески доступных неподвижных фаз для ГИХ в основном представлены сорбенты на основе силикагеля, обладающего небольшим диапазоном гидролитической стабильности. Использование оксидов металлов или полимеров, устойчивых в широком диапазоне рН, в качестве матриц сорбентов может способствовать повышению эффективности и обеспечить альтернативную селективность разделения за счет иного электростатического заряда, степени гидрофобности поверхности сорбента и возможности переведения аналитов в подходящую ионную форму, что актуально при разделении полярных соединений в режиме гидрофильной хроматографии.

<u>Цель работы</u> заключалась в изучении свойств неподвижных фаз на основе различных матриц и поиске структур гидрофильных функциональных слоев, обеспечивающих высокую эффективность и селективность сорбентов по отношению к полярным веществам различных химических классов в режиме гидрофильной хроматографии.

Для достижения поставленной цели необходимо было решить следующие задачи:

- Изучить хроматографические свойства сорбентов с использованием теста Танака для гидрофильных неподвижных фаз и на примере разделения модельных смесей полярных аналитов различных классов, включая кислотные, нейтральные и цвиттер-ионные соединения.
- Изучить влияние структуры и природы спейсеров, полярных полимеров и матриц на хроматографические свойства синтезированных сорбентов в режиме гидрофильной хроматографии.
- Оценить возможности и условия применения в гидрофильном режиме неподвижных фаз на основе диоксида титана, в том числе модифицированных путем адсорбционного закрепления полимерного функционального слоя.
- Установить влияние степени удаленности функционального слоя от поверхности матрицы при варьировании длины и структуры спейсера на хроматографические свойства неподвижных фаз на основе силикагеля и полистиролдивинилбензола в режиме гидрофильной хроматографии.
- Оценить перспективы применения сорбентов на основе различных матриц для анализа реальных объектов в режиме гидрофильной хроматографии и сравнить возможности синтезированных неподвижных фаз с коммерчески доступными колонками.

#### Научная новизна

Показано, что использование разветвленного полиэтиленимина для формирования полимерного функционального слоя и диглицидилового эфира 1,4-бутандиола (1,4-БДДГЭ) в качестве спейсера способствует лучшей гидрофилизации и экранированию матрицы силикагеля по сравнению с другими изученными полимерами и спейсерами и потому является наиболее перспективным подходом к созданию новых высокоэффективных и селективных сорбентов для гидрофильной хроматографии.

Установлена и продемонстрирована нецелесообразность увеличения числа циклов модифицирования свыше двух при закреплении спейсера 1,4-БДДГЭ для получения сорбентов на основе силикагеля для гидрофильной хроматографии вследствие снижения эффективности.

Предложено использование диоксида титана. адсорбционно модифицированного полиэтиленимином с последующей сшивкой 1,4-БДДГЭ, в качестве сорбента для определения полярных веществ в режиме гидрофильной хроматографии. Установлены условия модифицирования, обеспечивающие стабильное закрепление функционального слоя на поверхности матрицы, а также разделения водорастворимых витаминов в режиме гидрофильной условия хроматографии.

Оценено влияние моно- и диглицидиловых эфиров в качестве модификаторов поверхности на хроматографические свойства в гидрофильном режиме неподвижных фаз на основе полистирол-дивинилбензола и установлено, что дополнительное модифицирование поверхности глицидолом и 1,4-БДДГЭ приводит к значительному росту гидрофильности и эффективности по полярным аналитам.

Предложен способ управления эффективностью неподвижных фаз на основе полистирол-дивинилбензола, модифицированного полиэтиленимином, за счет варьирования длины и структуры спейсера. Продемонстрировано, что наилучшую эффективность в режиме гидрофильной хроматографии обеспечивает введение 1,4-БДДГЭ в качестве спейсера при числе циклов модифицирования, равном двум.

## Практическая значимость

Получены новые высокоэффективные сорбенты на основе различных матриц для гидрофильной хроматографии, обладающие альтернативной по отношению к коммерчески доступным сорбентам на основе силикагеля селективностью и характеризующиеся стабильностью в широком диапазоне рН подвижных фаз.

Показано, что сорбенты на основе диоксида титана, адсорбционно модифицированного сшитым 1,4-БДДГЭ полиэтиленимином, обеспечивают экспрессное разделение водорастворимых витаминов менее чем за 4 мин с эффективностью до  $24000 \, \text{тт/м}$ .

Для повышения эффективности в режиме гидрофильной хроматографии неподвижных фаз на основе полистирол-дивинилбензола рекомендовано формировать функциональный слой с использованием двух циклов модифицирования 1,4-БДДГЭ в качестве спейсера, а также глицидола или 1,4-БДДГЭ в качестве модификатора поверхности.

Неподвижные фазы с лучшими характеристиками на основе силикагеля, диоксида титана и полистирол-дивинилбензола были применены для анализа реальных объектов: витаминных комплексов, напитков спортивного питания, энергетических напитков, различных сортов меда, ликеро-водочных изделий методом гидрофильной хроматографии.

#### Положения, выносимые на защиту

- 1. Применение диглицидилового эфира 1,4-бутандиола для модифицирования силикагеля и сополимера стирола и дивинилбензола и в качестве спейсера, и в качестве гидрофилизующего модификатора поверхности позволяет достигать улучшенных хроматографических характеристик в гидрофильном режиме по сравнению с исходной матрицей.
- 2. Гидрофилизация глицидолом сорбента на основе силикагеля, модифицированного разветвленным полиэтиленимином, способствует увеличению гидрофильности поверхности, а также росту эффективности по витаминам, сахарам и аминокислотам до двух раз.

- 3. Стабильность неподвижных фаз на основе диоксида титана, полученных путем адсорбционного закрепления разветвленного полиэтиленимина с последующей сшивкой диглицидиловым эфиром 1,4-бутандиола достигается при соотношении матрица полиэтиленимин не менее 1 : 0.5 и матрица диглицидиловый эфир 1,4-бутандиола не менее 1 : 0.3.
- 4. Массовое соотношение матрица полиэтиленимин диглицидиловый эфир 1,4-бутандиола, равное 1 : 1 : 1, приводит к получению сорбента на основе диоксида титана, способного экспрессно разделить смесь шести водорастворимых витаминов менее чем за 4 мин с эффективностью до 24000 тт/м.
- 5. Сочетание двух циклов модифицирования диглицидиловым эфиром 1,4бутандиола в качестве спейсера с присоединением разветвленного полиэтиленимина, дополнительно гидрофилизованного глицидолом, обеспечивает получение неподвижной фазы на основе полистирол-дивинилбензола, которая характеризуется сопоставимой в гидрофильном режиме эффективностью (до 40000 тт/м по витаминам) с коммерчески доступными сорбентами на основе силикагеля.

#### Степень достоверности

Достоверность полученных результатов обеспечивалась использованием реагентов высокой степени чистоты, проведением анализа реальных объектов, а также применением современного хроматографического оборудования. На момент проведения измерений все используемое оборудование имело актуальное свидетельство о периодической поверке.

#### Соответствие паспорту научной специальности

Выпускная квалификационная работа соответствует паспорту специальности 02.00.02 – Аналитическая химия по областям исследований:

- методы химического анализа (химические, физико-химические, атомная и молекулярная спектроскопия, хроматография, рентгеновская спектроскопия, масс-спектрометрия, ядерно-физические методы и др.);
  - анализ органических веществ и материалов;
  - анализ пищевых продуктов.

#### Апробация результатов исследования

Основные результаты работы были представлены на конференциях:

- **2021 год:** Международная научная конференция студентов, аспирантов и молодых ученых «Ломоносов-2021», Москва, Россия, 12-23 апреля; VI Всероссийский симпозиум «Разделение и концентрирование в аналитической химии и радиохимии» с международным участием, Краснодар, Россия, 26 сентября 2 октября; Всероссийский симпозиум и школа-конференция молодых ученых «Физико-химические методы в междициплинарных экологических исследованиях», Севастополь, Россия, 27 октября 3 ноября;
- **2020 год:** Международная научная конференция студентов, аспирантов и молодых ученых «Ломоносов-2020», Москва, Россия, 10-17 ноября; IV Всероссийская

Конференция с международным участием «Аналитическая хроматография и капиллярный электрофорез», Краснодар, Россия, 28 сентября – 2 октября;

**2019 год:** 48<sup>th</sup> International Symposium on High-Performance Liquid Phase Separations and Related Techniques, Милан, Италия, 16-20 июня; Международная научная конференция студентов, аспирантов и молодых ученых «Ломоносов-2019», Москва, Россия, 8-12 апреля;

**2018 год:** 32<sup>nd</sup> International Symposium on Chromatography, Канны, Франция, 23-27 сентября; V Всероссийский симпозиум «Разделение и концентрирование в аналитической химии и радиохимии», Краснодар, Россия, 7-13 октября; Международный молодежный научный форум «Ломоносов-2018», Москва, Россия, 9-13 апреля.

## Публикации

По материалам работы опубликовано 15 печатных работ, в том числе три статьи в рецензируемых научных изданиях, индексируемых международными базами данных (Web of Science, Scopus, RSCI) и рекомендованных в диссертационном совете МГУ по специальности 02.00.02 «Аналитическая химия», и 12 тезисов докладов на российских и международных конференциях.

## Личный вклад автора

Личный вклад автора заключался в поиске, систематизации и анализе данных литературы по теме работы, планировании, постановке и проведении экспериментов, обработке и интерпретации полученных результатов, а также в подготовке к публикации результатов проведенных исследований. Представленные результаты исследования получены лично автором или под его руководством. Сорбенты на основе сополимера стирола и дивинилбензола, модифицированные политиленимином, а также с гиперразветвленным функциональным слоем, предоставлены с.н.с. Затираха А.В., м.н.с. Ужель А.С.

## Структура и объем работы

Научно-квалификационная работа состоит из введения, обзора литературы, экспериментальной части, результатов и их обсуждения, выводов и списка цитируемой литературы. Материал изложен на 175 страницах, включая 62 рисунка и 27 таблиц. В списке цитируемой литературы 235 наименований.

#### ОСНОВНОЕ СОДЕРЖАНИЕ РАБОТЫ

#### Введение

Во введении обоснована актуальность выбранной темы, сформулированы цель исследования и поставлены задачи для достижения цели, показана научная новизна работы и ее практическая значимость.

## Обзор литературы

**Первая глава** представляет собой обзор литературы, в котором систематизированы актуальные данные о неподвижных фазах для ГИХ, их классификация, области применения, способы получения и характеризации.

В разделах «Неподвижные фазы на основе силикагеля» и «Неподвижные фазы на основе других матриц» представлена информация о современных сорбентах для ГИХ на основе различных матриц, таких как силикагель, оксиды металлов, графитированная термическая сажа, полимеры, а также приведена классификация гидрофильных сорбентов на основе оксида кремния и области их применения. Показана перспективность диоксида титана и сополимера стирола и дивинилбензола для получения новых неподвижных фаз.

В разделе «Способы химического модифицирования для получения гидрофильных неподвижных фаз» классифицированы и описаны пути ковалентного закрепления модификаторов на поверхности сорбентов, а также способы гидрофилизации: покрытие полярным полимерным слоем, формирование гиперразветвленного функционального слоя и дистанцирование прививаемого функционального слоя от поверхности матрицы.

В разделе «Способы характеризации новых неподвижных фаз для гидрофильной хроматографии» структурированы подходы к изучению свойств и варианты описания сорбентов для гидрофильной хроматографии. Предложено сравнивать новые неподвижные фазы с использованием наиболее информативных и доступных средств – путем изучения хроматографического поведения полярных аналитов разных классов, а также при помощи теста Танака для гидрофильных сорбентов.

На основании обзора литературы сделаны выводы, которые подтверждают актуальность выбранной темы исследования и способов решения поставленных задач.

## Экспериментальная часть

Вторая глава включает описание используемых в работе химических реактивов, материалов и оборудования, условий и техники проведения экспериментов. Эксперименты проводили с помощью системы ВЭЖХ, состоящей из хроматографа «Dionex 3000» с двухканальным градиентным насосом, автоматической системой ввода пробы, термостатом колонки и спектрофотометрическим детектором на диодной матрице. Для регистрации хроматограмм использовали персональный компьютер и программный пакет Chromeleon 7 («Thermo Fisher Scientific», США). Для определения сахаров применяли систему ВЭЖХ, состоящую из изократического ВЭЖХ-насоса, шестиходового крана-дозатора и рефрактометрического детектора. Регистрацию хроматограмм осуществляли с помощью персонального компьютера и программного пакета ChemStation («Agilent Technologies», США).

## Синтез сорбентов

Обозначения синтезированных неподвижных фаз, а также соотнешения реагентов, взятых для синтеза сорентов на основе TiO<sub>2</sub>, представлены в табл. 1.

Таблица 1. Синтезированные сорбенты и их обозначения

	Стадия синтеза						
Сорбент	Матрица	1	2	3	4	5	
C-P	С	РДГЭ					
С-Б	С	Б					
С-ГЛ	С	ГЛ					
С-Б-ПВП <sup>1</sup>	С	Б	ПВП				
С-ПЭГ	С	ПЭГ					
С-Б-ПЭИлин	С	Б	ПЭИ				
С-Б-ПЭИ <sub>разв</sub>	С	Б	$\Pi \ni \Pi^*$				
С-Б-ПЭИ-ГЛ	С	Б	ПЭИ	ГЛ			
П-Б-ПЭИ-ГДГЭ	П	Б	ПЭИ	ГДГЭ			
П-Б-ПЭИ-ЭГДГЭ	Π	Б	ИЄП	ЭГДГЭ			
П-1Б-ПЭИ-ГЛ <sup>2</sup>	Π	Б	ИЄП	ГЛ			
П-2Б-ПЭИ-ГЛ <sup>2</sup>	П	Б+М	Б	ИЄП	ГЛ		
$\Pi$ -3Б- $\Pi$ ЭИ- $\Gamma$ $\Pi$ <sup>2</sup>	П	Б+М	Б+М	Б	ПЭИ	ГЛ	
П-1Б-ПЭИ-Б <sup>2</sup>	Π	Б	ИЄП	Б			
$\Pi$ -2Б- $\Pi$ ЭИ- $Б^2$	Π	Б+М	Б	ИЄП	Б		
$\Pi$ -3Б- $\Pi$ ЭИ- $Б^2$	П	Б+М	Б+М	Б	ПЭИ	Б	
$TM4^2$	П	Б+Т	Б+М	Б+М	Б+М	Б+М	
ТіО2-ПЭИ-Б	TiO <sub>2</sub> **	1.0×ПЭИ	1×Б				
ТіО <sub>2</sub> -ПЭИ-0.1×Б	TiO <sub>2</sub>	1.0×ПЭИ	0.1×Б				
ТіО <sub>2</sub> -ПЭИ-0.3×Б	$TiO_2$	1.0×ПЭИ	0.3×Б				
ТіО <sub>2</sub> -ПЭИ-0.5×Б	TiO <sub>2</sub>	1.0×ПЭИ	0.5×Б				
ТіО <sub>2</sub> -ПЭИ-0.7×Б	TiO <sub>2</sub>	1.0×ПЭИ	0.7×Б				
ТіО <sub>2</sub> -ПЭИ-1.5×Б	TiO <sub>2</sub>	1.0×ПЭИ	1.5×Б				
ТіО <sub>2</sub> -0.1×ПЭИ-Б	TiO <sub>2</sub>	0.1×ПЭИ	1.0×Б				
ТіО <sub>2</sub> -0.5×ПЭИ-Б	TiO <sub>2</sub>	0.5×ПЭИ	1.0×Б				
ТіО <sub>2</sub> -1.5×ПЭИ-Б	TiO <sub>2</sub>	1.5×ПЭИ	1.0×Б	-			

С – силикагель с привитыми аминопропилсиликагельными фрагментами;

Для проведения синтезов было использовано следующее оборудование: термостат («Меттет», Германия), механическая мешалка «Eurostar» («IKA-Werke», Германия), ультразвуковая ванна «Сапфир 6580» («Сапфир», Россия), вакуумный насос «Laboport» («KNF Neuberger», Германия). В качестве матрицы были использованы: силикагель с привитыми аминопропильными радикалами Диасфер-110-Амин со сферическими

РДГЭ (Р) – диглицидиловый эфир резорцина;

Б – диглицидиловый эфир 1,4-бутандиола (1,4-БДДГЭ);

 $<sup>\</sup>Gamma \Pi - \Gamma$  глицидол:

 $<sup>\</sup>Pi$  – полистирол-дивнилбензол (ПС-ДВБ);

ГДГЭ и ЭГДГЭ – диглицидиловые эфиры глицерола и этиленгликоля;

М – метиламин;

T – таурин;

<sup>–</sup> сорбент получен и предоставлен к.х.н. Лошиным А.А.;

<sup>2 –</sup> сорбенты получены и предоставлены д.х.н. Затираха А.В. и к.х.н. Ужель А.С.;

частицами диаметром 6 мкм, площадью поверхности  $200 \, \text{м}^2$ /г и размером пор  $110 \, \text{Å}$ ,  $1.52 \, \% \, \text{N}$  («БиоХиммак СТ», Россия); диоксид титана двух полиморфных модификаций: рутил (размер несферических частиц  $< 5 \, \text{мкм}$ ; Sigma-Aldrich / Merck Millipore, США) и анатаз (размер частиц  $5 \, \text{мкм}$ ; размер пор  $100 \, \text{Å}$ , Sachtopore®-NP, Sachtleben Chemie GmbH / ZirChrom Separations, Германия); силикагель Kromasil SIL (Nouryon, Швеция) со сферическими частицами диаметром  $5 \, \text{мкм}$ , размером пор  $100 \, \text{Å}$ ; сополимер стирола и дивинилбензола со степенью сшивки 50%, средним диаметром частиц  $5.5\pm0.5 \, \text{мкм}$ , площадью поверхности  $670 \, \text{м}^2$ /г и средним размером пор  $100 \, \text{Å}$ , синтезированный в лаборатории хроматографии химического факультета МГУ им. Ломоносова. Полученные в ходе работы сорбенты упаковывали суспензионным способом в стальные колонки размером  $100 \, \times \, 3 \, \text{мм}$ , с помощью насоса «Кпаuer K-1900» («Кпauer», Германия).

## Результаты и их обсуждение

Результаты и их обсуждение представлены в главах 3-7.

На основании обзора литературы сделан вывод, что наиболее перспективными способами гидрофилизации поверхности сорбентов представляются следующие пути: присоединение полярного полимера, формирование гиперразветвленного слоя и дистанцирование функционального слоя от матрицы. Кроме того, решено проводить сравнение хроматографических параметров сорбентов с использованием процедуры теста Танака для гидрофильных неподвижных фаз, а также на примере разделения модельных смесей полярных нейтральных сахаров, цвиттер-ионных аминокислот и водорастворимых витаминов, характеризующихся большим разнообразием физико-химических свойств.

для Третья глава («Выбор функционального слоя гидрофилизации функционализации различных матриц на примере разработки неподвижынх фаз на основе силикагеля») посвящена выбору структурных единиц для формирования способного функционального эффективно гидрофилизовать слоя, функционализировать матрицу сорбента. В качестве матрицы использовали аминопрпилсиликагель ввиду его коммерческой досутпности, высокой реакционной способности и гидрофильности, обеспечивающей отличные хроматографические характеристики сорбентов в режиме ГИХ и позволяющий удобно наблюдать влияние вводимых структурных фрагментов на свойства получаемых сорбентов.

На первом этапе (раздел «Выбор спейсера») изучали три сорбента, модифицированные глицидолом (С-ГЛ) и диглицидиловыми эфирами 1,4-бутандиола (С-Б) и резорцина (С-Р), рассматриваемыми в роли спейсеров для дальнейших этапов модифицирования матриц. Результаты теста Танака продемонстрировали увеличение гидрофильности для сорбента С-ГЛ по сравнению с матрицей, в то время как присоединение диэпоксидов приводило к ее снижению. Для рассматриваемых сорбентов отмечено значительное увеличение анионообменной селективности, что связано с увеличением степени замещения и кватернизацией атомов азота матрицы после присоединения модификаторов, при этом исходные катионообменные свойства силикагеля подавляются.

Показано, ЧТО повышение гидрофильности спейсера (С-ГЛ) приводит увеличению селективности по нейтральным полярным аналитам – углеводам (рис. 1), а также значительному росту факторов их удерживания, в то время как между матрицей, С-Б и С-Р существенных различий не наблюдали. Эффективность ПО сахарам для С-ГЛ составила до

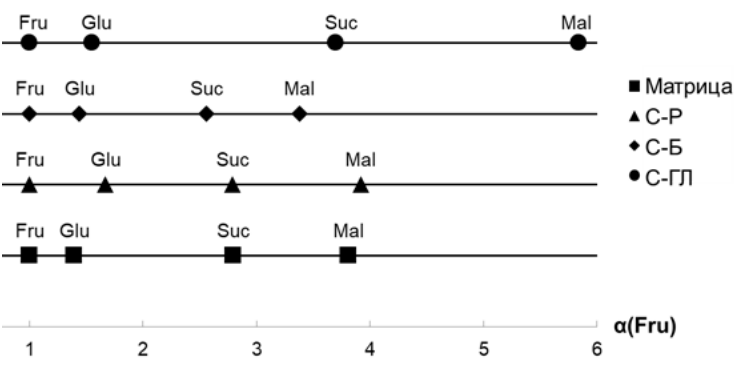


Рис. 1. Шкалы селективности по сахарам относительно фруктозы. П.ф.: вода — ацетонитрил (15:85 об.%), скорость потока — 1 мл/мин, рефрактометрическое детектирование.

30000 тт/м, что сопоставимо со значениями для немодифицированной матрицы и в два раза превысило таковую для С-Б и С-Р.

Согласно представленным на рис. 2 хроматограммам, порядок элюирования аминокислот для всех сорбентов соответствует гидрофильности увеличению аналитов. При этом, возрастание удерживания времен И эффективности по аминокислотам коррелировали с увеличением гидрофильности спейсера – самые высокие наблюдали значения С-ГЛ. для сорбента Однако, для разделения модельной смеси восьми аминокислот на С-ГЛ 60 требовалось мин ДЛЯ обеспечения полного разрешения пиков Met/Tyr/Val/Pro. Сорбент С-Б позволил разделить

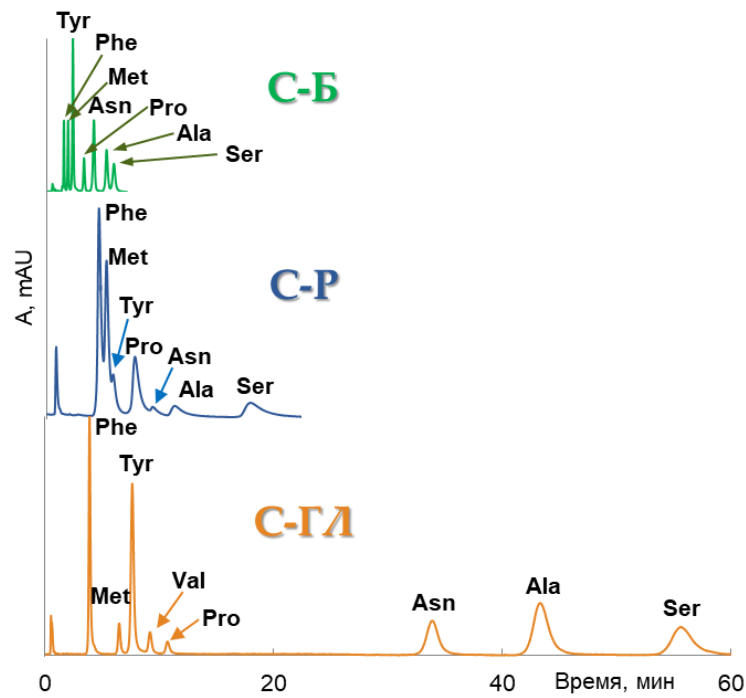
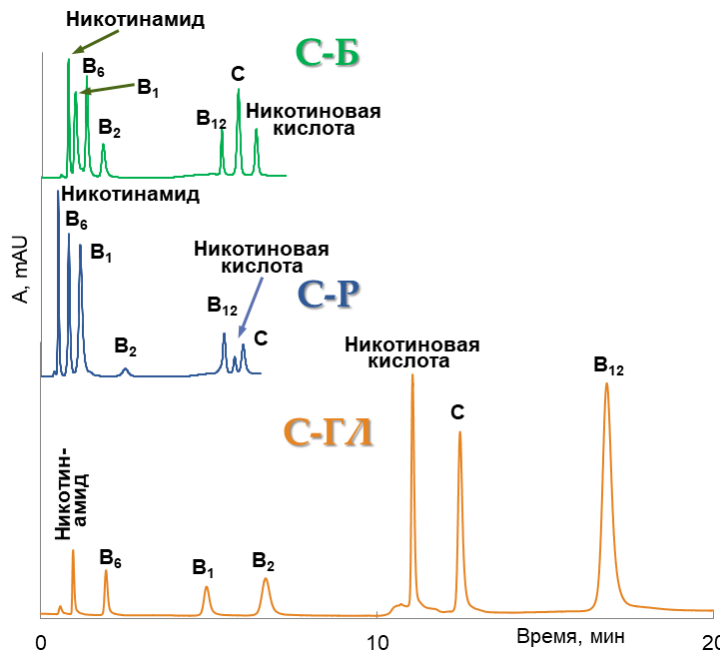


Рис. 2. Хроматограммы смесей аминокислот. П.ф.: 5 мМ фосфатный буферный раствор с рН 6.5 – ацетонитрил (15:85 об. %), скорость потока 1 мл/мин, УФ при 210 нм.

семь аминокислот в тех же условиях в десять раз быстрее с эффективностью выше  $30000 \, \mathrm{tr/m}$ .

Среди рассмотренных диольных сорбентов наибольшую эффективность по витаминам, до  $55000\,\mathrm{TT/m}$ , продемонстрировал С-ГЛ, в то время как для С-Б и С-Р эффективность достигала только  $40000\,\mathrm{TT/m}$ . Таким образом, эффективность по витаминам новых сорбентов в основном зависит от гидрофильности спейсера: С-ГЛ > С-Б > С-Р.

Установлено, что на порядок и времена удерживания водорастворимых витаминов на новых диольных фазах влияют два фактора. Первым ИЗ них является гидрофильность прививаемого фрагмента. В случае глицидола это приводит более сильному удерживанию (рис. 3) и высокой эффективности, чем у сорбентов с привитиыми диэпоксидами (аналогично другим классам полярных веществ). Второй фактор – поверхности неподвижной С-ГЛ, С-Б и С-Р подход позволил положительный создать результате чего



заряд поверхности неподвижной фазы. Реализованный при синтезе С-ГЛ, С-Б и С-Р подход позволил создать положительный заряд в функциональном слое сорбента, в результате чего наиболее Рис. 3. Хроматограммы модельных смесей витаминов. П.ф.: 100 мМ аммонийно-ацетатный буферный раствор с рН 5.8 — ацетонитрил, градиентный режим (С-Б: 0-2.5 мин — 8% буф. раствор, 2.5-5 мин — 8-40%, 5-7 мин — 40%; С-Р: 0-3 мин — 7% буф. раствор, 3-4.5 мин — 7-20%, 4.5-6 мин — 20%; С-ГЛ: 0-7 мин — 10% буф. раствор, 7-10 мин — 10-20%, 10-20 мин — 20%), скорость потока 1 мл/мин, УФ при 270 нм.

гидрофильный положительно заряженный тиамин ( $B_1$ , Log P=-4.6) имел небольшие факторы удерживания. Таким образом, выбранный способ модифицирования обеспечил альтернативный по сравнению с коммерчески доступными колонками для ГИХ порядок удерживания заряженных аналитов, что может быть полезно для решения прикладных задач.

Таким образом, по результатам изучения хроматографических параметров новых диольных сорбентов 1,4-БДДГЭ выбран как наиолее перспективный синтон для роли спейсера, поэтому в дальнейших исследованиях использовали его.

**На втором этапе** (раздел «Выбор гидрофильного полимера») рассмотрели полярные полимеры: поливинилпиридин (ПВП), полиэтиленгликоль (ПЭГ), линейный и разветвленный полиэтиленимин (ПЭИ $_{\text{лин}}$  и ПЭИ $_{\text{разв}}$ ) в качестве модификаторов поверхности для формирования функционального слоя, способного экранировать матрицу и максимально гидрофилизовать ее поверхность.

Все сорбенты с полимерным покрытием, кроме С-Б-ПВП, продемонстрировали увеличение гидрофильности поверхности по сравнению с матрицей. Кроме того, по результатам теста Танака С-Б-ПВП продемонстрировал неудовлетворительные результаты, поэтому в дальнейшем не рассматривался.

По результатам разделения модельной смеси сахаров установлено, что сорбент С-ПЭГ обладает несколько большим удерживанием дисахаридов Suc, Mal, Lac, чем модифицированные полиэтиленимином сорбенты, а также иным порядком элюирования пары Mal/Lac. Синтезированный сорбент С-Б-ПЭИ<sub>лин</sub>, обладает лучшей селективностью

в отношении пар Rib/Fru и Lac/Mal, а также сопоставимыми с С-ПЭГ высокими значениями эффективности по сахарам до 16000 тт/м.

Сорбенты с привитыми различными модификациями ПЭИ обладают одинаковой селективностью по отношению к витаминам (рис. 4), однако для более гидрофильного С-Б-ПЭИ $_{\text{лин}}$  характерны более высокие значения времен удерживания сильноудерживаемых витаминов: цианокобаламина, аскорбиновой и никотиновой кислот. Кроме того, сорбент С-ПЭГ демонстрирует заметное увеличение времени удерживания положительно заряженного  $B_1$ . Эффективность по витаминам на сорбентах С-ПЭГ и С-Б-ПЭИ $_{\text{лин}}$  достигает 30000 тт/м, а использование градиентного элюирования позволило в обоих случаях разделить модельную смесь всех семи витаминов менее, чем за 16 мин.

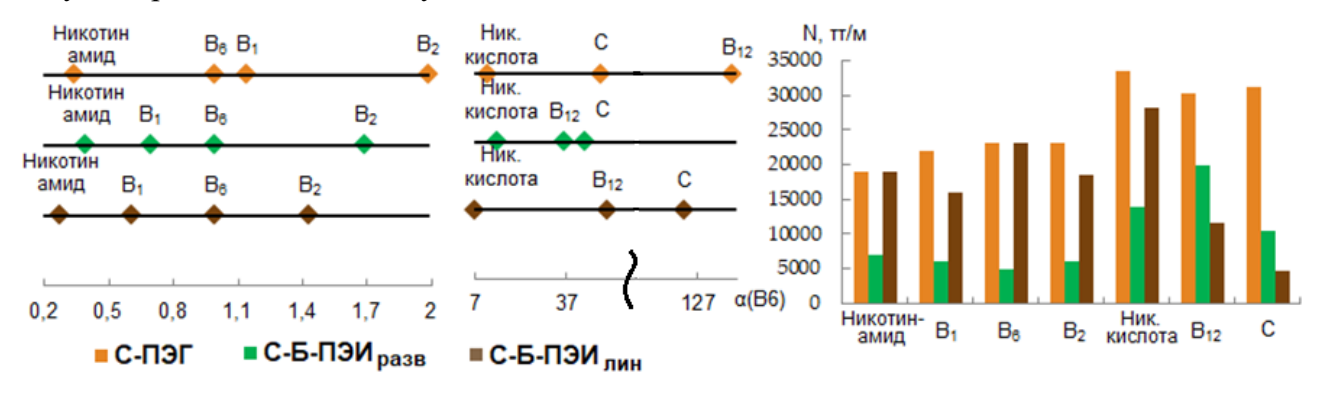
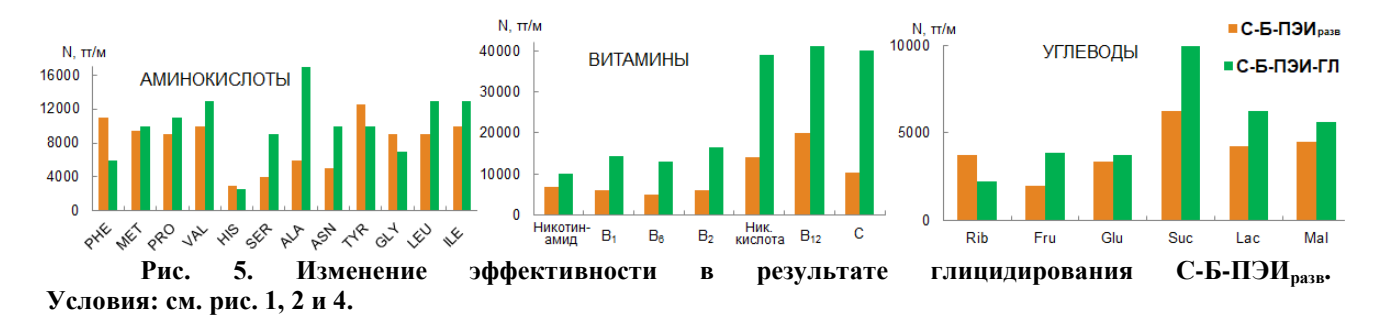


Рис. 4. Шкалы селективности для витаминов относительно пиридоксина и диаграмма эффективности. П.ф.: 100 мМ аммонийно-ацетатный буферный раствор с рН 5.8 – ацетонитрил (10: 90 об. %), скорость потока 1 мл/мин, УФ при 270 нм.

На данном этапе показаны возможности гидрофилизации и функционализации присоединения сорбентов путем ковалентного ПЭГ И ПЭИ. нецелесообразность использования ПВП. Установлено, что полиэтиленимин обладает большей перспективностью для формирования гидрофильного функционального слоя. Поскольку использование линейных полимеров представляется малоэффективным и коммерчески нецелесообразным при дальнейших работах с более гидрофобными матрицами, наиболее подходящим представляется использование разветвленного ПЭИ. Для улучшения хроматографических параметров предложено провести дополнительную гидрофилизацию поверхности С-Б-ПЭИразв присоединения путем ковалентного глицидола.

**На третьем этапе** (раздел «Дополнительная гидрофилизация глицидолом») с целью повышения эффективности сорбента С-Б-ПЭИ<sub>разв</sub> проводили модифицирование



сорбента глицидолом для повышения гидрофильности поверхности. Установлено, что глицидирование поверхности сорбента С-Б-П $\Theta$ И<sub>разв</sub> не влияет на селективность и времена удерживания веществ, но эффективность по всем классам аналитов увеличилась в 1,5 – 2 раза (рис. 5).

Таким образом, из рассмотренных полимерных материалов разветвленный полиэтиленимин, дополнительно модифицированный глицидолом, обладает лучшим потенциалом для формирования гидрофилизующего функционального слоя, поэтому в дальнейших исследованиях для построения архитектуры новых сорбентов на основе альтернативных матриц использовали разветвленный ПЭИ в сочетании с глицидолом.

**Четвертый этап** (раздел «Дистанцирование функционального слоя»). Помимо природы присоединяемых спейсера и полимера, значительное влияние может оказывать пространственное удаление функционального слоя от поверхности матрицы, регулируемое длиной спейсера. В связи с этим для установления оптимального количества циклов присоединения спейсера были получены С-1Б-ПЭИ-ГЛ, С-2Б-ПЭИ-ГЛ и С-3Б-ПЭИ-ГЛ с одним, двумя и тремя слоями спейсера в структуре, соответственно. Сравнение хроматографических параметров разделения модельных смесей полярных аналитов показало, что дистанцирование функционального слоя способствует росту гидрофильности поверхности, но не влияет на селективность и лишь незначительно увеличивает эффективность на 5-10%, а также приводит к заметному ухудшению базовой линии при работе в градиентном режиме.

На основании данных литературы установлено, что диоксид титана демонстрирует альтернативную силикагелю селективность благодаря возможности вступать в ионо- и лигандообменные взаимодействия. Кроме того, высокая гидролитическая стабильность TiO<sub>2</sub> позволяет работать во всем диапазоне рН подвижной фазы, что подчеркивает перспективность диоксида титана в качестве матрицы для гидрофильных сорбентов. Четвертая глава («Разработка неподвижных фаз на основе диоксида титана») посвящена получению неподвижных фаз на основе TiO<sub>2</sub> путем покрытия частиц диоксида титана различным количеством полиэтиленимина с последующей сшивкой 1,4-бутандиолдиглицидиловым эфиром и установлению их хроматографических характеристик в режиме ГИХ.

**На первом этапе работы** (раздел «Неподвижные фазы на основе рутила») оценивали хроматографические характеристики несферических частиц TiO<sub>2</sub>

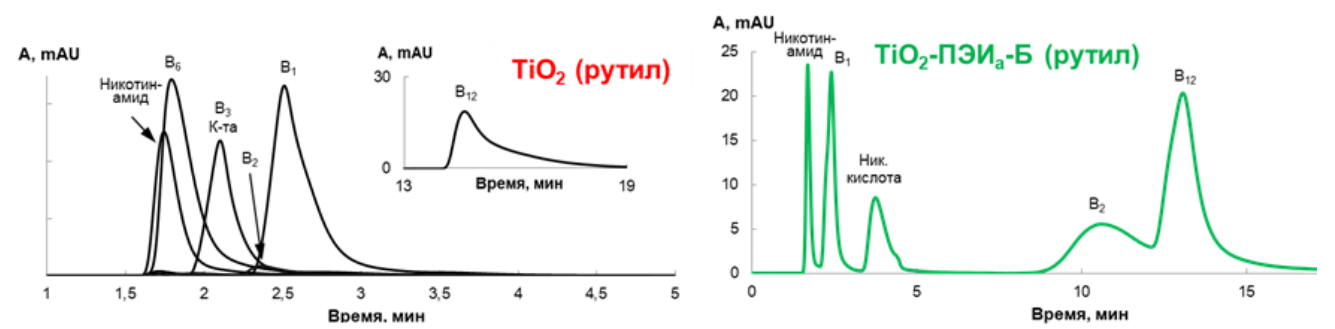


Рис. 6. Хроматограммы водорастворимых витаминов на сорбентах  $TiO_2$  (рутил). П.ф.: 20 мМ ацетатный буферный раствор с рН 5.8 – ацетонитрил (10:90 об. % - для  $TiO_2$ , для  $TiO_2$ -ПЭИ $_a$ -Б – градиентный режим), скорость потока – 1 мл/мин, УФ при 270 нм.

модификации *рутил* и подбирали условия разделения модельной смеси витаминов группы В путем варьирования рН, концентрации буферной системы и доли воды в элюенте. Однако даже в лучших условиях добиться разделения модельной смеси не удалось (рис. 6). Поэтому следующим шагом стало модифицирование частиц диоксида титана, что привело к значительному росту факторов удерживания аналитов, в результате чего стало возможно разделение модельной смеси 5 витаминов в градиентном режиме за 15 минут с эффективностью до 14000 тт/м.

Таким образом, модифицирование диоксида титана путем инкапсулирования  $TiO_2$  слоем ПЭИ, дополнительно сшитым 1,4-БДДГЭ, позволило увеличить времена удерживания витаминов группы В, улучшить эффективность и селективность их разделения,. Можно заключить, что адсорбционное закрепление функционального слоя с последующей сшивкой представляет перспективный подход для создания новых неподвижных фаз для  $\Gamma$ ИХ.

На *следующем* этапе (раздел «Неподвижные фазы на основе анатаза») использовали сферические частицы диоксида титана с более гидрофильной полиморфной модификацией анатаз. Выбор оптимальных условий

для разделения водорастворимых витаминов проводили путем варьирования рН буферного раствора диапазоне 3.0 11.0 использованием подходящих буферных систем (формиатной, ацетатной, фосфатной, карбонатной), концентрации буферного раствора и доли воды в составе подвижной фазы, в результате чего был выбран элюент следующего состава: 7 мМ фосфатный буферный раствор с рН 8.0 – ацетонитрил (18:82 об. %).

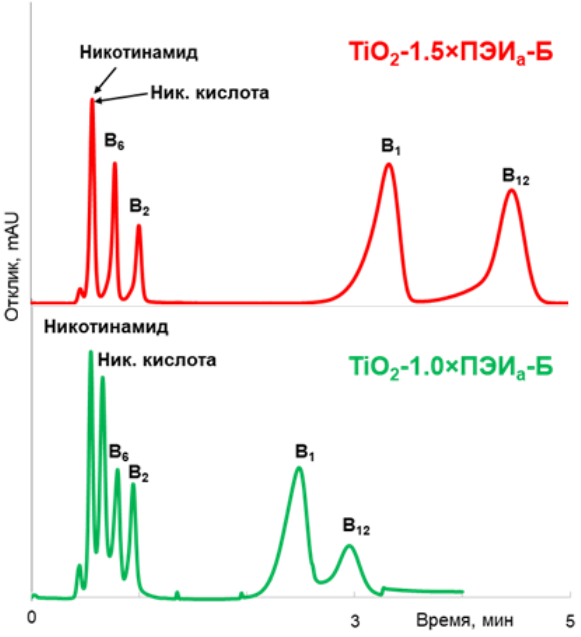


Рис. 7. Хроматограммы модельной смеси витаминов на сорбентах  $TiO_2$ -n× $\Pi$  $\ni$  $U_a$ -Б. П.ф.: 7 мМ фосфатный буферный раствор с рН 8.0 – ацетонитрил (18: 82 об. %), скорость потока 1 мл/мин, УФ при 270 нм.

Варьирование количества сшивающего агента 1,4-БДДГЭ. Установлено, что селективность разделения витаминов на колонках с сорбентами  $TiO_2$ -ПЭИ $_a$ -n×Б возросла, что обеспечило полное разрешение пары  $B_1/B_{12}$ . Среди синтезированных неподвижных фаз сорбент  $TiO_2$ -ПЭИ $_a$ -Б (с массовым соотношением реагентов  $TiO_2$ -ПЭИ-1,4-БДДГЭ 1:1:1) продемонстрировал лучшую селективность и позволил разделить модельную смесь шести водорастворимых витаминов (никотинамид, никотиновая кислота,  $B_6$ ,  $B_2$ ,  $B_1$ ,  $B_{12}$ ) за 4 мин с эффективностью до 25000 тт/м при выбранных условиях изократического режима элюирования.

Варьирование количества ПЭИ. Варьирование толщины полимерного слоя ПЭИ может способствовать повышению эффективности сорбента, так как толщина функционального слоя влияет на скорость массопереноса. Лучшую селективность и

наибольшую эффективность по витаминам до 24000 тт/м продемонстрировали сорбенты  $TiO_2$ -0.1×ПЭИ $_a$ -Б и  $TiO_2$ -1.0×ПЭИ $_a$ -Б (рис. 7). Для сорбента  $TiO_2$ -1.5×ПЭИ $_a$ -Б установили снижение эффективности. В ходе эксплуатации колонки с  $TiO_2$ -0.1×ПЭИ $_a$ -Б наблюдали снижение эффективности и времен удерживания модельных аналитов, а также рост давления в системе. Благодаря большей селективности на сорбенте  $TiO_2$ -1.0×ПЭИ $_a$ -Б удалось разделить смесь из шести водорастворимых витаминов за 4 мин в изократическом режиме элюирования.

Таким образом, впервые показано применение модифицированного диоксида титана в качестве сорбента для гидрофильной хроматографии. Установлено, что адсорбционное закрепленное ПЭИ с последующей сшивкой 1,4-БДДГЭ приводит к получению стабильных сорбентов при массовом соотношении матрица - ПЭИ не менее 1:0.5 и матрица - 1,4-БДДГЭ не менее 1:0.3. По результатам поиска условий модифицирования выявлены способы управления селективностью и эффективностью путем варьирования количества сшивающего агента 1,4-БДДГЭ и ПЭИ, а также подобраны условия определения водорастворимых витаминов на новых сорбентах. В результате получен сорбент  $\text{TiO}_2\text{-}1.0\times\Pi\text{ЭИ}_a\text{-}1.0\times\text{Б}$ , позволяющий экспрессно разделить модельную смесь шести витаминов менее чем за 4 мин с эффективностью до 25000 тт/м.

**Пятая глава** («Разработка неподвижжных фаз на основе сополимера стирола и дивинилбензола») посвящена получению новых неподвижных фаз для ГИХ на основе гидролитически стабильной, но гидрофобной матрицы ПС-ДВБ с использованием различных способов гидрофилизации, установленных на основании обзора литературы.

Ha первом этапе (раздел «Оценка хроматографических модифицированного полиэтиленимином сорбента, гидрофилизованного глицидолом») получили сорбент П-Б-ПЭИ-ГЛ со структурой функционального слоя, установленной в главе 3 как наиболее подходящей для гидрофилизации. Первым шагом стало установление состава подвижной фазы для определения водорасторимых витаминов путем варьирования рН и концентрации буферного раствора, а также соотношения вода – ацетонитрил. Использование 100 мМ формиатного буферного раствора с рН 3.0 позволило добиться полного разрешения 7 витаминов. Кроме того, установлен характерный для ГИХ порядок элюирования аналитов и зависимость факторов их удерживания от состава элюента. Таким образом, показана перспективность предложенной структуры функционального слоя для создания гидрофильных сорбентов на основе ПС-ДВБ, однако, отмечена необходимость повышения достигнутой невысокой (до 10000 тт/м) эффективности.

**На втором этапе** (раздел «Получение гидрофильной неподвижной фазы с опробовали другой *гиперразветвленным* функциональным слоем») способ гидрофилизации матрицы ПС-ДВБ путем формирования гиперразветвленного функционального слоя. Для оценки применимости такого подхода были изучены хроматографические свойства сорбента ТМ4, полученного путем пятикратного повторения циклов алкилирования 1,4-БДДГЭ и аминирования, где в первом цикле использовали аминокислоту таурин Т, а в последующих четырех – метиламин М. Для формирования гиперразветвленной структуры на каждом последующем цикле использовали в два раза большее количество реагентов, чем в предыдущем.

Показан диапазон реализации ГИХ и ОФ ВЭЖХ режимов для различных по структуре гидрофильных аналитов аспарагина, рибофлавина урацила (рис. 8). Установлено. механизм удерживания колонке аналитов на с сорбентом TM4 определяется не составом подвижной фазы, но природой самого определяемого соединения. Это лелает неподвижную фазу TM4 перспективной для одновременного определения высокополярных гидрофобных соединений.

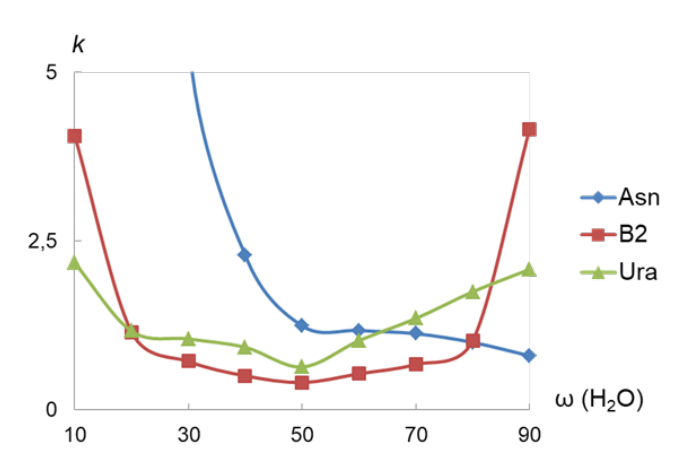


Рис. 8. Влияние состава подвижной фазы на удерживание полярных аналитов на ТМ4. П.ф.: вода —ацетонитрил, скорость потока 1 мл/мин, УФ при 210 нм.

Невысокая эффективность - до 14000 тт/м по аминокислотам и 11000 тт/м по витаминам (табл. 2) - и невозможность дальнейшего модифицирования такого функционального слоя вследствие увеличения количества сшивок и ухудшения характеристик сорбентов свидетельствует о нецелесообразности использования большого числа циклов модифицирования.

Таблица 2. Хроматографические характеристики ТМ4 в ГИХ

Caxapa	k	N, TT/M	Log P*	Витамины	k	N, TT/M	Log P
Рибоза	2.0	7000	-2.66	Никотинамид	1.27	9000	-0.37
Ксилоза	2.5	5000	-2.21	Тиамин	0.48	5000	-4.60
Фруктоза	2.8	9000	-1.78	Пиридоксин	3.61	5000	-0.77
Глюкоза	3.7	4000	-3.12	Рибофлавин	5.53	4000	-1.46
Сахароза	5.9	9000	-4.50	Цианокобал- амин**	0.46	10000	-0.90
Лактоза	6.6	6000	-5.26	Аскорб. кислота**	17.71	9000	-1.85
Мальтоза	7.2	6000	-5.26	Ник. кислота**	35.77	11000	0.36
Аминокислоты							
Валин	7.57	7000	-2.31	Фенилаланин	7.09	4000	-1.51
Тирозин	13.06	6000	-1.99	Серин	46.11	14000	-3.69
Пролин	6.43	7000	-2.38	Аспарагин	21.59	11000	-5.22
Лейцин	7.39	6000	-1.82	Аланин	28.82	12000	-3.22
Метионин	7.07	5000	-2.64	Глицин	25.40	13000	-3.64

Условия для сахаров: вода—ацетонитрил (15:85 об. %), скорость потока 1 мл/мин, рефрактометрическое детектирование. Условия для витаминов: 100 мМ аммонийно-формиатный буферный раствор с рН 3.0 (7:93 об. % и 30:70 об. % для \*\*), скорость потока 1 мл/мин, УФ при 270 нм. Условия для аминокислот: 5 мМ фосфатный буферный раствор с рН 6.5 — ацетонитрил (12:88 об. %), скорость потока 1 мл/мин, УФ при 210 нм. \*Расчет выполнен в EPIWEB 4.1.

Перспективным подходом для создания высокоэффективных неподвижных фаз для ГИХ в таком случае может быть сочетание нескольких циклов модифицирования 1,4-

БДДГЭ с закреплением гидрофильного полимера (ПЭИ) и гидрофилизующего модификатора M во внешней части функционального слоя.

На третьем этапе (раздел «Выбор модификатора поверхности для неопдвижных фаз на основе сополимера стирола и дивинилбензола») изучили влияние гидрофилизующего агента, закрепленного на поверхности функционального слоя ПЭИ, на хроматографические свойства неподвижных фаз в гидрофильном режиме. Получили три сорбента типа П-Б-ПЭИ-М, где в качестве модификатора М поверхности были использованы 1,4-БДДГЭ, а также его аналоги – диглицидиловые эфиры этиленгликоля (ЭГДГЭ) и глицерина (ГДГЭ), различающиеся длиной углеродной цепи и гидрофильностью.

Установлено, лучшей что селективностью по отношению обладают более сахарам гидрофильные сорбенты П-Б-ПЭИ-ΓЛ П-Б-ПЭИ-Б, причем значительно большим удерживаем углеводов характеризуется П-Б-ПЭИ-ГЛ. Для сорбентов П-Б-ПЭИ-ЭГДГЭ и П-Б-ПЭИ-ГДГЭ эффективность по сахарам составила 3000-5000 тт/м, а для более гидрофильных П-Б-ПЭИ- $\Gamma$ Л и  $\Pi$ -Б- $\Pi$ ЭИ-Б – до 10000 тт/м. Высокая селективность П-Б-ПЭИ-ГЛ обеспечила разделение модельной смеси 6 сахаров за 12 минут, в том числе и трудноразделимой пары Lac/Mal (рис. 9).

Низкие факторы удерживания аминокислот сочетании худшей эффективностью до 2000 тт/м и асимметрией пиков демонстрируют сорбенты П-Б-ПЭИ-ЭГДЭ и П-Б-ПЭИ-ГДГЭ, в то время как для П-Б-ПЭИ-ГЛ наблюдаются лучшие селективность симметрия пиков (As = 0.9-1.2). Для сорбента П-Б-ПЭИ-Б факторы получены меньшие удерживания аминокислот по сравнению с П-Б-ПЭИ-ГЛ, однако более высокая эффективность – до 18000 тт/м для ряда аналитов (пролин, серин, аланин, глицин) позволила экспрессно разделить модельную смесь шести аминокислот менее чем за 8 минут, в то время как в этих же условиях разделение смеси пяти УФ при 210 нм.

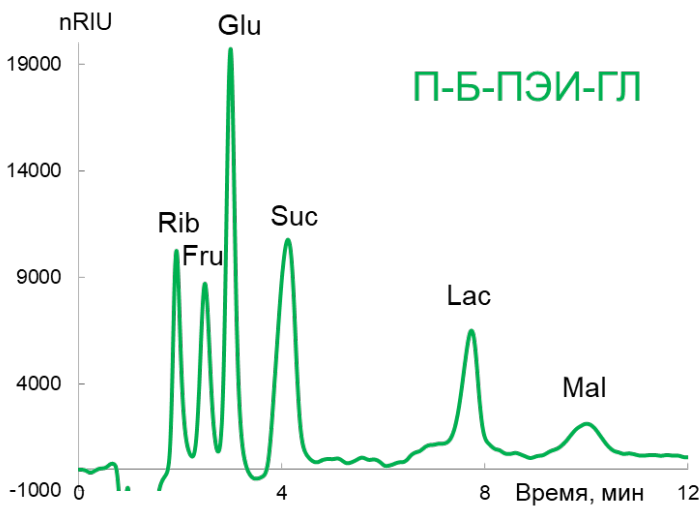


Рис. 9. Хроматограмма модельной смеси сахаров на сорбенте П-Б-ПЭИ-ГЛ. П.ф.: вода — ацетонитрил (12:88 об. %), скорость потока 1 мл/мин, рефрактометрическое детектирование.

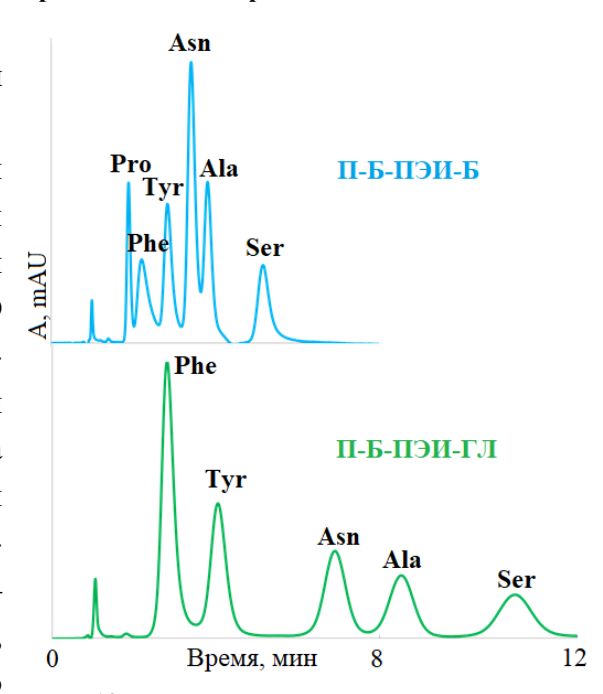


Рис. 10. Хроматограммы модельных смесей аминокислот. П.ф.: 10 мМ фосфатный буферный раствор с рН 6.5 – ацетонитрил (18:82 об.%), скорость потока 1 мл/мин, УФ при 210 нм.

аминокислот на сорбенте П-Б-ПЭИ-ГЛ составило 12 минут (рис. 10). Отдельно стоит отметить, что для сорбентов, поверхность которых модифицировали диэпоксидами, наблюдали более сильное удерживание фенилаланина по сравнению с П-Б-ПЭИ-ГЛ, в результате чего он элюировался после пролина, метионина и валина.

Сорбенты П-Б-ПЭИ-ЭГДЭ и П-Б-ПЭИ-ГДГЭ продемонстрировали слабое удерживание витаминов, низкую эффективность и плохую симметрию пиков, в результате чего подобрать условия для разделения модельной смеси не удалось. Сорбент П-Б-ПЭИ-Б обладает сопоставимыми значениями факторов удерживания витаминов с П-Б-ПЭИ-ГЛ, однако в 2-3 раза превосходит его в эффективности, значения которой достигают 30000 тт/м. Разделение модельной смеси 7 витаминов в градиентном режиме составило 40 минут (рис. 11).

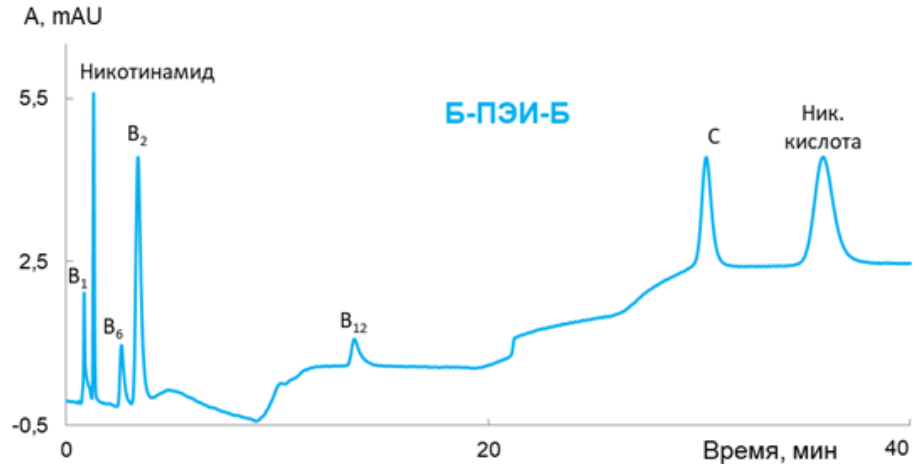


Рис. 11. Хроматограмма модельной смеси витаминов. П.ф.: 100 мМ аммонийно-формиатный буферный раствор с рН 3.0 – ацетонитрил, градиентный режим  $(0.5 \text{ мин} - 7\% \text{ буф. раствор}, 5.12 \text{ мин} - 7.15\%, 12.16 мин} - 15\%, 16.20 мин} - 15.25\%, 20.40 мин} - 25\%), скорость потока 1 мл/мин, УФ при 270 нм.$ 

Таким образом, показана нецелесообразность введения диэпоксидов ЭГДГЭ и ГДГЭ в структуру функциольного слоя неподвижных фаз на основе ПС-ДВБ. Поскольку использование в качестве модификатора поверхности глицидола и 1,4-БДДГЭ показало получение эффективных сорбентов для разделения разных классов гидрофильных соединений, в дальнейшей работе оба соединения будут задействованы в поисках путей улучшения хроматографических параметров новых сорбентов на основе ПС-ДВБ для гидрофильной хроматографии.

**На четвертом этапе** (раздел «Пространственное дистанцирование функционального слоя») изучили влияние пространственного удаления функционального слоя от поверхности матрицы ПС-ДВБ путем увеличения числа слоев спейсера, для чего были получены две серии сорбентов:  $\Pi$ -n×Б- $\Pi$ ЭИ- $\Gamma$ Л и  $\Pi$ -n×Б- $\Pi$ ЭИ- $\Gamma$ Б, где число циклов присоединения спейсера n=1-3.

Приведенные в табл. 3 результаты теста Танака демонстрируют резкое увеличение параметра гидрофильности kU в обеих сериях при переходе к двойному спейсеру. Все шесть сорбентов обладают высокой анионообменной селективностью  $\alpha(AX)$  и основной природой  $\alpha(Tb/Tp)<1$ . Отсутствие отрицательно заряженных функциональных групп объясняет близкие к нулю значения катионообменной селективности  $\alpha(CX)$ . Кроме того,

для всех сорбентов характерны отличные от 1 значения метиленовой  $\alpha(CH_2)$ , гидроксильной  $\alpha(OH)$  и пространственной  $\alpha(V/A)$  селективностей.

Таблица 3. Результаты теста Танака для П-n×Б-ПЭИ-ГЛ и П-n×Б-ПЭИ-Б

Сорбент	kU	α(CH <sub>2</sub> )	α(OH)	α(V/A)	α(AX)	α(CX)	α(Tb/Tp)
П-1Б-ПЭИ-ГЛ	2.18	1.26	1.72	1.37	121.01	0.26	0.40
П-2Б-ПЭИ-ГЛ	7.72	1.23	1.60	1.40	67.03	0.21	0.50
П-3Б-ПЭИ-ГЛ	8.03	1.26	1.67	1.42	105.42	0.21	0.39
П-1Б-ПЭИ-Б	5.30	1.07	1.42	1.37	69.78	0.25	0.47
П-2Б-ПЭИ-Б	6.08	1.17	1.48	1.38	81.54	0.24	0.42
П-3Б-ПЭИ-Б	6.12	1.23	1.60	1.42	93.19	0.23	0.44

Условия: п.ф. – 20 мМ аммонийно-ацетатный буферный раствор с рН 4.7 – ацетонитрил (10:90 об. %), скорость потока 0.5 мл/мин, УФ при 254 нм

Установлено, что варьирование длины спейсера практически не влияет на факторы удерживания сахаров — синтезированные сорбенты демонстрируют сопоставимые значения времен элюирования. Кроме того, порядок удерживания сахаров для сорбентов с удаленным функциональным слоем аналогичен их прототипам с единичным спейсером и соответствует гидрофильному режиму. Однако следует отметить, что сорбенты серии П-п×Б-ПЭИ-Б демонстрируют меньшие времена удерживания, но при этом большую эффективность. В обеих группах сорбенты с двойным спейсером демонстрируют лучшую в серии эффективность: до 8000 тт/м и 13000 тт/м для П-п×Б-ПЭИ-ГЛ и П-п×Б-ПЭИ-Б соответственно. Несмотря на это, достичь разделения пары Mal/Lac, как на сорбенте П-1Б-ПЭИ-ГЛ, не удалось.

Времена удерживания аминокислот в серии П-n×Б-ПЭИ-ГЛ имеют сопоставимые значения для всех трех сорбентов, только для П-3Б-ПЭИ-ГЛ наблюдается увеличение (рис. 12). незначительное В то время как для группы П-п×Б-ПЭИ-Б характерен рост времен удерживания вместе с увеличением числа слоев спейсера (рис. 13) Стоит отметить, что порядок удерживания аминокислот идентичен коррелирует с уменьшением параметра Ханша аналитов.

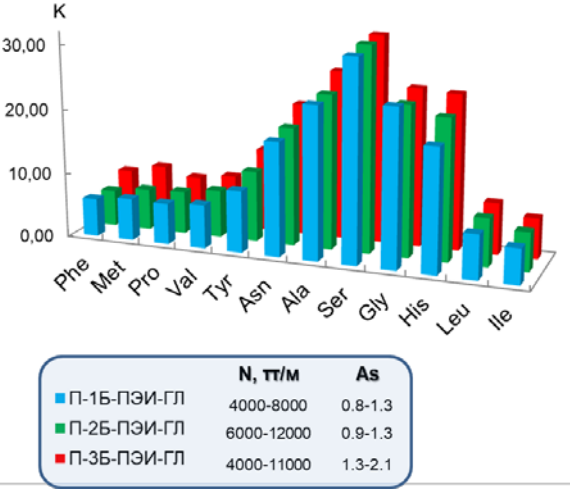
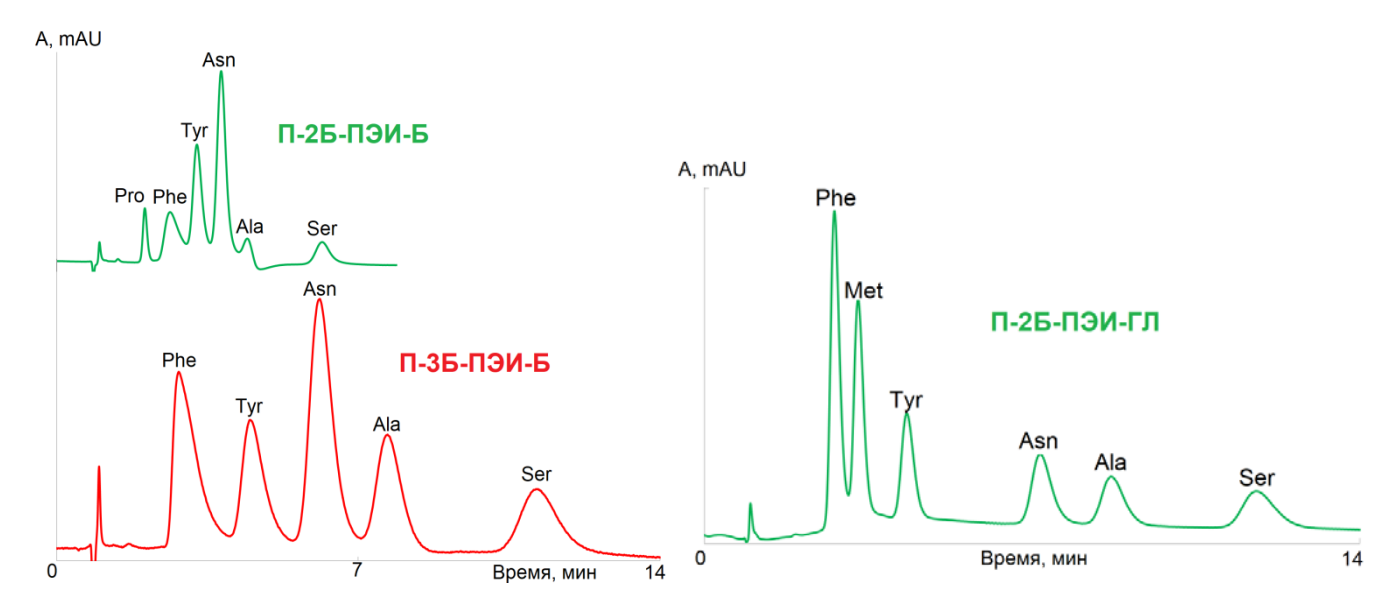


Рисунок. 12. Результаты определения аминокислот на П-п×Б-ПЭИ-ГЛ. П.ф.: 5 мМ фосфатный буферный раствор с рН 6.5 – ацетонитрил (15:85 об. %), скорость потока 1 мл/ мин, УФ при 210 нм.



модельной смеси Рис. 14. Хроматограмма **Хроматограмма** модельной аминокислот на П-2Б-ПЭИ-Б и П-3Б-ПЭИ-Б. П.ф.: аминокислот на П-2Б-ПЭИ-ГЛ. П.ф.: 10 мМ 10 мМ фосфатный буферный раствор с рН 6.5 – фосфатный буферный раствор (18:82 of. %),ацетонитрил (18:82 об. %), потока ацетонитрил скорость скорость потока 1 мл/мин, УФ при 210 нм. 1 мл/мин, УФ при 210 нм.

Однако для  $\Pi$ -2×Б- $\Pi$ ЭИ-Б и  $\Pi$ -3×Б- $\Pi$ ЭИ-Б, как и в случае  $\Pi$ -1×Б- $\Pi$ ЭИ-Б, наблюдается изменение порядка удерживания пары Phe/Pro. Как и для сахаров, сорбенты с двойным спейсером демонстрируют лучшую эффективность по аминокислотам: до 13000 тт/м и 19000 тт/м для  $\Pi$ -2×Б- $\Pi$ ЭИ- $\Gamma$ Л и  $\Pi$ -2×Б- $\Pi$ ЭИ-Б соответственно. Несмотря на меньшую эффективность,  $\Pi$ -2×Б- $\Pi$ ЭИ- $\Gamma$ Л демонстрирует лучшую симметрию пиков As = 0.9-1.3, в результате чего стало возможно разделение 6 аминокислот за 14 мин (рис. 14). Невысокая эффективность по аминокислотам и большая асимметрия пиков As = 1.3-3.0 у сорбентов с тройным спейсером может быть следствием возросшего числа внутриенних сшивок между фрагментами 1,4-БДД $\Gamma$ Э, возникших из-за трехкратного повторения цикла алкилирования.

синтезированных Bce три сорбента демонстрируют одинаковый порядок элюирования витаминов и сопоставимые времена удерживания. Эффективность по витаминам для сорбентов с одним или тремя циклами алкилирования в обеих группах составляет до 20000 тт/м, в то время как для неподвижных фаз с двумя циклами эффективность достигает 30000 тт/м и 40000 тт/м для  $\Pi$ -2Б- $\Pi$ ЭИ-Б и П-2Б-ПЭИ-ГЛ соответственно (рис. 15). Достигнутая эффективность по полярным аналитам в режиме гидрофильной хроматографии является рекордной для сорбента на основе гидрофобной матрицы и сопоставима с таковой для гидрофильных сорбентов на основе силикагеля.

Хроматограмма модельной смеси семи витаминов на сорбенте П-2Б-ПЭИ-ГЛ с двойным

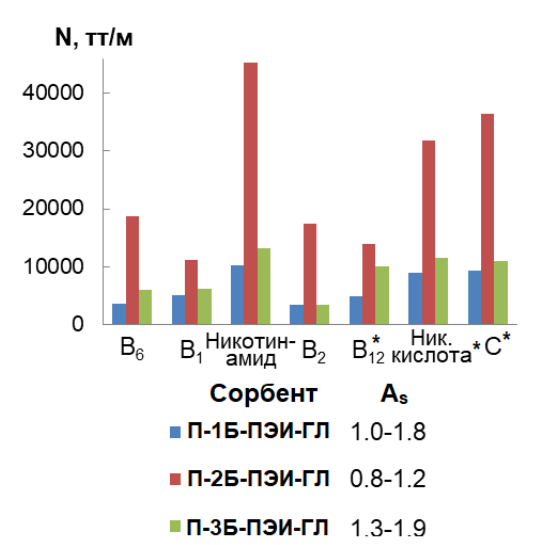


Рисунок 15. Диаграмма эффективности по витаминам. П.ф.: 100 мМ формиатный буферный раствор с рН 3.0 – ацетонитрил (7:93 об. %), скорость потока 1 мл/мин, УФ при 270 нм. \* буферный раствор – ацетонитрил (30:70 об. %).

спейсером, обладающим лучшей эффективностью и симметрией пиков, представлена на рис. 16.

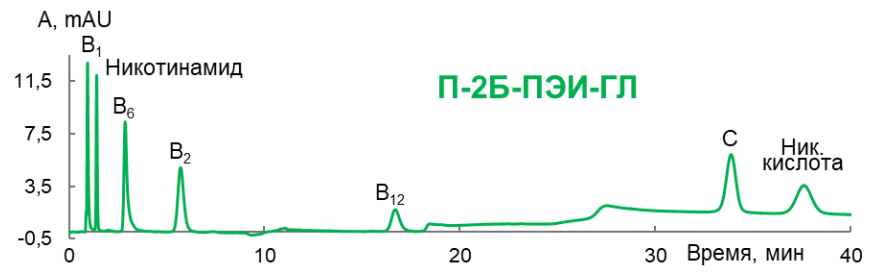


Рис. 16. Хроматограмма модельной смеси витаминов на  $\Pi$ -2Б- $\Pi$ ЭИ- $\Gamma$ Л.  $\Pi$ .ф.: 100 мМ формиатный буферный раствор с рН 3.0 – ацетонитрил, градиентный режим (0-7 мин – 7% буф. раствор, 7-10 мин – 7-15%, 10-17 мин – 15%, 17-25 мин – 15-30%, 25-40 мин – 30%), скорость потока 1 мл/мин, УФ при 270 нм.

В ходе работы показана перспективность формирования гидрофильного функционального слоя на матрице ПС-ДВБ путем ковалентного закрепления разветвленного ПЭИ для собентов для ГИХ. Путем создания варьирования модификатора поверхности установлено, что дальнейшее модифицирование слоя ПЭИ глицидолом приводит к получению неподвижной фазы с высокой эффективностью по витаминам, а дополнительное сшивание слоя ПЭИ диглицидиловым эфиром 1,4бутандиола обеспечивают лучшую эффективность при разделении сахаров. Кроме того, впервые показано влияние пространственного удаления функционального слоя на характеристики сорбентов на основе ПС-ДВБ в режиме гидрофильной хроматографии. Установлено, что увеличение числа слоев спейсера до двух и трех не оказывает влияния на селективность и времена удерживания полярных аналитов, однако использование двойного спейсера позволяет значительно увеличить эффективность. Так, сорбент П-2Б-ПЭИ-ГЛ продемонстрировал эффективность по витаминам до 40000 тт/м, сопоставимо с эффективностью сорбентов на основе силикагеля.

Кроме того, показана применимость к ГИХ сорбента на основе ПС-ДВБ с гиперразветвленным функциональным слоем. Установлено, что хроматографическое поведение аналитов зависит в большей мере от природы определяемых соединений, а не от состава подвижной фазы, что делает возможным одновременное разделение гидрофильных и гидрофобных аналитов.

**На пятом этапе** (раздел «Возможности и перспективы неподвижных фаз на основе полистирол-дивинилбензола с гидрофильным функциональным слоем в режиме ГИХ») продемонстрировали возможности расширения рабочего диапазона кислотности подвижных фаз обеспечения селективности одновременного определения гидрофильных и гидрофобных веществ для сорбентов на основе гидрофобной матрицы с привитым гидрофильным функциональным слоем П-2Б-ПЭИ-ГЛ, продемонстрировавшем лучшие характеристики в ГИХ среди рассмотренных сорбентов на основе полимерной матрицы.

На примере разделения модельной смеси фенолов показан, что увеличение рН буферной системы в составе подвижной фазы с 7.0 (рис. 17 A) до 11.0 (рис. 17 Б) обеспечило приемлемые факторы удерживания аналитов и привело к повышению

селективности и эффективности, улучшению симметрии пиков фенолов, сокращению времени анализа. При этом варьирование доли воды в элюенте также способствует изменению факторов удерживания аналитов, однако улучшению формы пиков, селективности и росту эффективности не способствует. Определение фенолов в режиме гидрофильной хроматографии на сорбентах на основе силикагеля сильно затруднено ввиду их слабого удерживания на полярных неподвижных фазах (для фенолов P > 1), что было подтверждено на примере использования сорбента с привитым глицидолом С-ГЛ, для которого факторы удерживания фенолов не превышали P > 10 при составе подвижной фазы вода — ацетонитрил, P > 10.

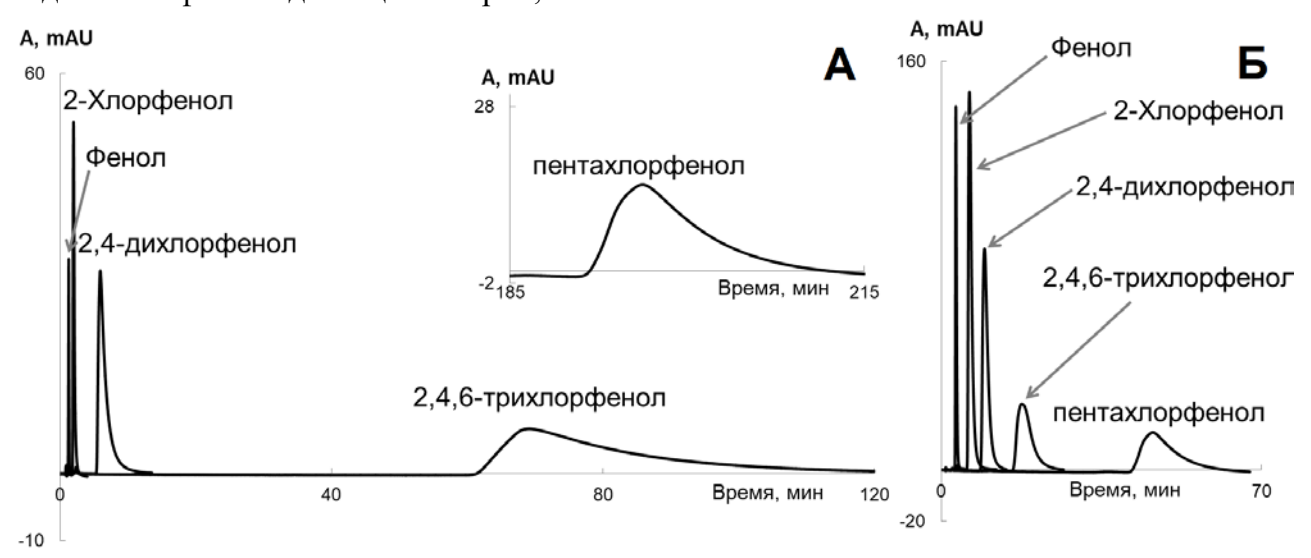


Рис. 17. Хроматограммы смеси хлорфенолов на П-2Б-ПЭИ-ГЛ. А: 10 мМ фосфатный буферный раствор с рН 7.0 – ацетонитрил; Б: 10 мМ карбонатный буферный раствор с рН 11.0 – ацетонитрил; общие условия: п.ф. 20:80 об. %, скорость потока 1 мл/мин, УФ при 254 нм.

Кроме того, сочетание гидрофобной матрицы и гидрофильного привитого функционального слоя может способствовать удерживанию аналитов за счет различных типов взаимодействий, тем самым обеспечивая одновременное определение полярных гидрофильных и высокогидрофобных веществ без предварительной специальной пробоподготовки, такой как дериватизация или образование микроэмульсий (рис. 18).

Таким образом, показано, что неподвижные фазы на основе гидрофобного ПС-ДВБ с гидрофильным функциональным слоем применимы определения не только ДЛЯ гидрофильных соединений в режиме ГИХ, но и для одновременного определения различных классов веществ, характеризующихся как положительными, так и отрицательными значениями параметра Ханша.

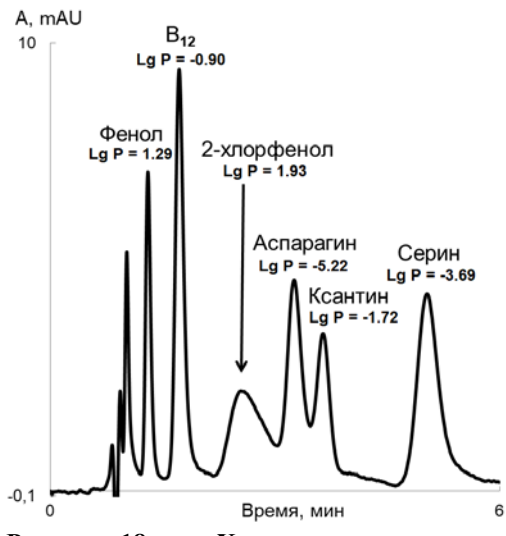


Рис. 18. Хроматограмма смеси гидрофобных и гидрофильных соединений на П-2Б-ПЭИ-ГЛ. П.ф.: 10 мМ фосфатный буферный раствор с рН 6.5 – ацетонитрил (20: 80 об. %), скорость потока 1 мл/мин, УФ при 210 нм.

**Шестая глава** посвящена сравнению характеристик полученных гидрофильных неподвижных фаз с коммерчески доступными сорбентами, обладающими похожими функциональными группами. Продемонстрировано, что полученные в работе фазы не уступают по хроматографическим свойствам коммерчески доступным колонкам и в ряде случаев превосходят их по селективности и эффективности.

Седьмая глава посвящена оценке применимости новых сорбентов на основе различных матриц к анализу реальных объектов, которую проводили на примере определения полярных компонентов в составе объектов с различной по сложности матрицей: витаминосодержащие БАД, питьевое спортивное питание, энергетические напитки, различные сорта меда, ликеро-водочные изделия. Содержание определяемых компонентов находили методом абсолютной калибровки. Достоверность полученных результатов устанавливали методом «введено-найдено». Пример анализа БАД «СОМРLЕХ В» на сорбенте П-2Б-ПЭИ-ГЛ, полученном на основе сополимера стирола и дивинилбензола, представлен на рис. 19. Метрологические характеристики определения компонентов и результаты анализа представлены в табл. 4 и 5.

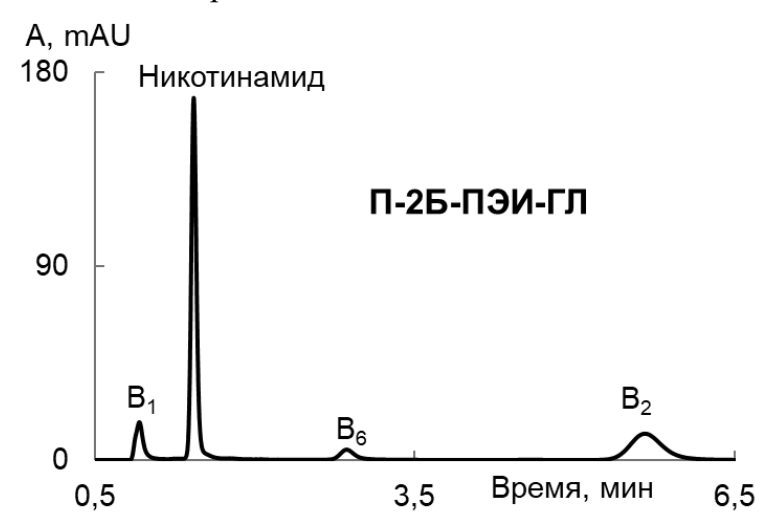


Рис. 19. Хроматограммы анализа «COMPLEX В» на П-2Б-ПЭИ-ГЛ. П.ф.: 100 мМ аммонийноформиатный буферный раствор с рН 3.0 (7:93 об. %), скорость потока 1 мл/мин, УФ при 270 нм.

Таблица 4. Метрологические характеристики определения компонентов «COMPLEX B»

Аналит	Диапазон линейности, мг/л	$S_r^*$	С <sub>min</sub> , мг/л	$a^{**}$	r
Никотинамид	1.00 - 50.00	0.17	0.05	0.3149	0.999
Пиридоксин	1.00 - 25.00	0.05	0.01	0.2863	0.999
Рибофлавин	1.00 - 5.00	0.06	0.05	1.632	0.999
Тиамин	3.00 - 25.00	0.15	1.0	0.6626	0.997

<sup>\*</sup> при концентрации 4 мг/л

Таблица 5. Результаты анализа БАД «COMPLEX В» (n = 3, P = 0.95)

Компонент	Найдено, мг	Заявлено, мг
Никотинамид	32±3	32
Пиридоксин	2.6±0.3	2.8
Рибофлавин	2.8±0.3	2.8
Тиамин	2.2±0.3	2.2

<sup>\*\*</sup> вид градуировочной кривой  $y = a \times c$ 

В заключении описаны основные результаты, полученные в работе.

## выводы

- 1. Изучены в гидрофильном режиме хроматографические свойства ковалентно модифицированных сорбентов на основе силикагеля, различающихся структурой и гидрофильностью спейсера на примере трех неподвижных фаз, а также четырех сорбентов, модифицированных различными по природе и структуре полярными полимерами. Предложено использование разветвленного полиэтиленимина в сочетании с диглицидиловым эфиром 1,4-бутандиола в роли спейсера для формирования гидрофильного функционального слоя.
- 2. В работе показано применение модифицированных частиц диоксида титана в режиме гидрофильной хроматографии. Установлено, что стабильное адсорбционное закрепление полимерного функционального слоя обспечивается при массовом соотношении матрица: полиэтиленимин не менее чем 1:0.5 с последующей его сшивкой диглицидиловым эфиром 1,4-бутандиола не менее чем 1:0.3 по отношению матрица: сшивающий Сорбент агент. c массовым матрица: полимер: сшивающий агент равным 1:1:1 обеспечил экспрессное разделение модельной смеси шести витаминов менее чем за 4 мин с эффективностью до 24000 тт/м.
- 3. дистанцирования Изучено влияние ковалентно закрепленного функционального полиэтиленимина поверхности матрицы хроматографические свойства сорбентов в режиме гидрофильной хроматографии. На примере девяти неподвижных фаз показано, что удаленность полимерного слоя не оказывает значительного влияния на факторы удерживания и селективность в отношении полярных аналитов для сорбентов на основе различных матриц, но позволяет существенно изменять эффективность в случае гидрофобного полистиролдивинилбензола.
- Сорбент, полученный в результате двух циклов присоединения диглицидилового эфира 1,4-бутандиола, модифицированный разветвленным полиэтиленимином и глицидолом, продемонстрировал масимальную гидрофильность среди изученных неподвижных фаз на основе полистирол-дивинилбензола, а также лучшую селективность и эффективность в гидрофильном режиме. Использование 100 мМ аммонийно-формиатного буферного раствора с рН 3.0 и ацетонитрила в качестве подвижной фазы в градиентном режиме позволило разделить модельную смесь семи водорастворимых витаминов за 30 минут с эффективностью до 40000 тт/м.
- 5. Показана применимость полученных сорбентов на основе различных матриц к анализу реальных объектов: витаминных комплексов, спортивного питания, энергетических напитков, меда, ликеро-водочных изделий.

Основные результаты работы изложены в следующих публикациях:

<u>Научные статьи, опубликованные в рецензируемых научных журналах,</u> индексируемых в базах данных Web of Science, Scopus, RSCI и рекомендованных для защиты в диссертационном совете МГУ по специальности 02.00.02 – «Аналитическая химия»:

- 1. <u>Попов А.С.</u>, Максимов Г.С., Смоленков А.Д., Шпигун О.А., Чернобровкина А.В. Новые сорбента для гидрофильной хроматографии на основе силикагеля, ковалентно модифицированного полиэтиленгликолем // Вестн. Моск. Ун-та. Сер. 2: Химия. 2021. Т. 62. № 2. С. 164-174. Импакт-фактор RSCI 0.695. (70%)
- 2. <u>Попов А.С.</u>, Царенко Е.А., Чернобровкина А.В. Собенты на основе диоксида титана для гидрофильной хроматографии // Журн. Аналит. Химии. 2021. Т. 76. № 10, С. 916-926. Импакт-фактор RSCI 0.996. (50%)
- 3. <u>Popov A.S.</u>, Spiridonov K.A., Uzhel A.S., Smolenkov A.D., Chernobrovkina A.V., Zatirakha A.V. Prospects of using hyperbranched stationary phase based on poly (styrene-divinylbenzene) in mixed-mode chromatography // J. Chromatogr. A. 2021 Vol. 1642. P. 462010. Импакт-фактор Web of Science 4.759, **Q1**. (40%)

## Иные публикации:

- 1. <u>Попов А.С.</u> Синтез и изучение новых диольных неподвижных фаз для гидрофильной хроматографии со спейсерами различной гидрофобности // Материалы IX научной конференции молодых ученых "Инновации в химии: достижения и перспективы 2018". Москва, Россия. 2018. С. 78.
- 2. <u>Попов А.С.</u>, Царенко Е.А., Чернобровкина А.В., Смоленков А.Д., Шпигун О.А. Изучение альтернативных матриц сорбентов для гидрофильной хроматографии // Материалы V Всероссийского симпозиума «Разделение и концентрирование в аналитической химии и радиохимии» с международным участием. Краснодар, Россия. 2018. С. 168.
- 3. <u>Popov A.</u>, Chernobrovkina A., Domnikov K., Smolenkov A., Shpigun O. Evaluating the Applicability of alternative substrates in Hydrophilic interaction Chromatography // Book of Abstract 32d International Symposium on Chromatography. Cannes-Mandelieu, France. 2018. P. 76.
- 4. Царенко Е.А., <u>Попов А.С.</u> Изучение хроматографических свойств неподвижных фаз на основе диоксида титана в режиме гидрофильной хроматографии // Материалы Международного молодежного научного форума «Ломоносов-2019». Москва, Россия. 2019. С. 99.
- 5. <u>Попов. А.С.</u> Изучение влияния длины спейсера на хроматографические свойства новых сорбентов с различной матрицей для гидрофильной хроматографии // Материалы Международного молодежного научного форума «Ломоносов-2019». Москва, Россия. 2019. С. 73.
- 6. <u>Popov A.</u>, Chernobrovkina A., Zatirakha A., Smolenkov A., Shpigun O. The Influence of Linker's Structure on the Performance of Novel HILIC Silica- and PS-DVB-

based Stationary Phases // 48th International Symposium on High-Performance Liquid Phase Separations and Related Techniques. Milan, Italy. 2019. P. 1-2.

- 7. Чернобровкина А.В., <u>Попов А.С.</u>, Смоленков А.Д., Затираха А.В. Синтез и изучение новых сорбентов для гидрофильной хроматографии на основе сополимера стирола и дивинилбензола // Материалы IV Всероссийской конференции с международным участием "Аналитическая хроматография и капиллярный электрофорез". Краснодар, Россия. 2020. С. 168.
- 8. <u>Попов А.С.</u>, Чернобровкина А.В., Затираха А.В., Смоленков А.Д., Шпигун О.А. Новые сорбенты на основе различных матриц для гидрофильной хроматографии // Материалы IV Всероссийской конференции с международным участием " Аналитическая хроматография и капиллярный электрофорез ". Краснодар, Россия. 2020. С. 156.
- 9. <u>Попов А. С.</u> Изучение влияния структуры сшивающего агента на хроматографические свойства новых сорбентов на основе сополимера стирола и дивинилбензола для гидрофильной хроматографии // Материалы Международного молодежного научного форума «Ломоносов-2020». Москва, Россия. 2020. С. 116.
- 10. Попов А.С., Царенко Е.А., Чернобровкина А.В., Шпигун О.А. Синтез и изучение свойств сорбентов на основе диоксида титана в режиме гидрофильной хроматографии // Материалы VI Всероссийского симпозиума «Разделение и концентрирование в аналитической химии и радиохимии» с международным участием. Краснодар, Россия. 2021. С. 67.
- 11. Максимов Г.С., <u>Попов А.С.</u> Синтез и изучение новых сорбентов для гидрофильной хроматографии на основе силикагеля, ковалентно модифицированного полиэтиленгликолем // Материалы Международного молодежного научного форума «Ломоносов-2021». Москва, Россия. 2021. С. 59.
- 12. <u>Попов А.С.</u>, Горбовская А.В. Разработка многофункционального гиперразветвленного сорбента на основе сополимера стирола и дивинилбензола // Материалы Международного молодежного научного форума «Ломоносов-2021». Москва, Россия. 2021. С. 72.

## Благодарности

Автор выражает признательность и благодарность научному руководителю к.х.н. Чернобровкиной А.В. за помощь в постановке задач и обсуждении результатов исследования; д.х.н., проф., член-корр. РАН Шпигуну О.А. и д.х.н., проф. Пирогову А.В. за помощь и консультацию по тематике работы, д.х.н. Затираха А.В. и к.х.н. Ужель А.С. за любезно предоставленные сорбенты; всем членам лаборатории хроматографии за помощь в работе и поддержку; д.х.н. Яшкину С.Н. за бесценный опыт и чуткое наставничество.